



Dampfgetriebenes vernetztes Hydroxypropyl-ÿ-Cyclodextrin Elektrogesponnene Nanofasermembranen zur ultraschnellen Farbstoffentfernung

Xinmiao Xu, Yi Zhang, Yong Chen * und Yu Liu *

Fakultät für Chemie, Staatliches Schlüssellabor für Elementar-Organische Chemie, Nankai-

300071, China * Korrespondenz: chenyong@nankai.edu.cn (YC); yuliu@nankai.edu.cn (YL)

Zusammenfassung: Herkömmliche Trennmembranen zur Farbstoffentfernung leiden häufig unter einem Kompromiss zwischen Trennleistung und Wasserdurchlässigkeit. Hier schlagen wir einen einfachen Ansatz zur Herstellung von Cyclodextrin-basierten Hochfluss-Nanofasermembranen durch Elektrospinnen und dampfbetriebene Vernetzungsprozesse vor . Die Anwendung von Glutaraldehyddampf zur Vernetzung von elektrogesponnenen Membranen aus Hydroxypropyl-ÿ-Cyclodextrin (HP-ÿ-CD)/ Polyvinylalkohol (PVA)/Laponit kann miteinander verbundene Strukturen aufbauen und zur Bildung einer porösen hierarchischen Schicht führen. Darüber hinaus kann die Einarbeitung des anorganischen Salzes Laponit den Vernetzungsprozess verändern und Membranen mit verbesserter Hydrophilie und hochkonservierter elektrogesponnener Nanofasermorphologie ergeben, die zu einem ultraschnellen Wasserfluss von 1,0 x 105 Lhÿ1mÿ2barÿ1 beiträgt . Aufgrund des synergetischen Effekts der starken Wirt-Gast-Wechselwirkung und der elektrostatischen Wechselwirkung weisen die Membranen innerhalb kurzer Zeit eine geeignete Rückweisung anjonischer Farbstoffe mit einer hohen Entfernungseffizienz von >99 % auf und erreichen eine genaue Trennung kationischer von anionischen Farbstoffen, begleitet von einer geeigneten Recyclingfähigkeit mit einer Trenneffizienz von >97 % nach mindestens vier Trennungs-Regenerationen. Die hergestellten Membranen mit bemerkenswerter Trenneffizienz und ultraschnellen Permeationseigenschaften könnten ein vielversprechender Kandidat für Hochleistungsmembranen in der Wasseraufbereitung sein.

Schlüsselwörter: Cyclodextrin: supramolekulare Adsorption: Elektrospinnen: Nanofasermembranen: ultraschnelle Permeation



Zitat: Xu, X.; Zhang, Y.; Chen, Y.; Liu, Y. Dampfgetriebene vernetzte Hydroxypropylÿ-Cyclodextrin-elektrogesponnene nanofaserige Membranen zur ultraschnellen Farbstoffentfernung. Chemistry 2024, 6, 506-516. https://doi.org/ 10.3390/ chemistry6040029

Empfangen: 22, Mai 2024 Überarbeitet: 19. Juni 2024 Akzeptiert: 21. Juni 2024 Veröffentlicht: 25. Juni 2024



Copyright: © 2024 bei den Autoren Lizenznehmer MDPI, Basel, Schweiz Dieser Artikel ist ein Open Access-Artikel vertrieben unter den Bedingungen und Bedingungen der Creative Commons Namensnennungslizenz (CC BY) 4.0/)

1. Einleitung

Viele synthetische organische Farbstoffe, die in der Lebensmittel-, Kosmetik-, Leder- und Textilindustrie verwendet werden, sind mutagen und krebserregend [1,2]. Wasserökosysteme und die menschliche Gesundheit sind durch die weit verbreitete Freisetzung von Farbstoffabwässern im Zuge der schnell voranschreitenden Industrialisierung ernsthaft bedroht [3]. Es ist sehr wichtig, effiziente Techniken zur Farbstoffentfernung für die Abwasserbehandlung zu finden. Zahlreiche Taktiken wie chemische Oxidation [4], biologischer Abbau [5] und Adsorption [6,7] wurden gründlich untersucht. Unter diesen hat die Membrantrenntechnologie aufgrund ihrer Erschwinglichkeit, Benutzerfreundlichkeit und Umweltfreundlichkeit immer mehr Interesse geweckt [8]. Daher werden große Anstrengungen unternommen, um Hochleistungsmembranen zu entwickeln, die

gleichzeitig eine starke Rückweisung und einen hohen Fluss aufweisen [9,10]. ÿ-Cyclodextrin (ÿ-CD) ist kostengünstig und nachhaltig, besitzt den hydrophoben Hohlraum, um durch Wirt-Gast-Wechselwirkungen stabile Einschlusskomplexe mit bestimmten organischen Molekülen zu bilden und wird häufig zur Schadstoffadsorption eingesetzt [11-14]. Darüber hinaus kann durch die Verwendung des Hauptbausteins der Membranen, der intrinsischen Mikroporosität von ÿ-CD, eine genaue Trennung durch Größenausschluss erreicht werden und als zusätzlicher Wassertransportkanal dienen [15,16]. Peinemann et al. entwickelten eine Methode mit Per-6-Amino-ÿ-CDs anstelle von Diamin, die mit Terephthalsäurechlorid reagieren, um durch Grenzflächenpolymerisation eine Cyclodextrin-basierte Trennschicht zu bilden, die eine präzise formselektive Permeabilität und eine Wasserdurchlässigkeit von 20 Lmÿ2h ÿ1barÿ1 zeigte (https:// creativecommons.org/licenses/by/ [17]. Diese CD-basierten vernetzten Membranen, die durch traditionelle Grenzflächenpolymerisationsreaktionen in Lösung hergestellt werden, sind jedoch immer noch zu dicht, um einen schnellen Lösungsmitteltransport zu ermö Permeabilität und eine Wasserdurchlässigkeit von 20 Lmÿ2hÿ1barÿ1 [17]. Allerdings sind diese CD-basierten vernetzten Membranen, die durch traditionelle Grenzflächenpolymerisationsreaktionen in Lösung hergestellt werden, immer noch zu dicht, um einen schnellen Lösungsmitteltransport zu ermöglichen [18–21].

Zu den allgemeinen Methoden zur Koordinierung der Wasserdurchlässigkeit von Membranen gehören die Verbesserung der Hydrophille der Membranoberfläche [22,23], die Einführung eines Wassertransferkanals

nel [24,25] und die Erhöhung der spezifischen Oberfläche [26] Elektrospinnen als vielseitige und Membranen [29,29] WestenseinustigeeviMandiaeaantieefistelleuhtydroopiNien bfasefmelinierinierinunig einem Mensertränsfen-Durchmesser-Varhältals: 6.24.45] Dund auf Er hähre green specifischen: Oberfläring (66) 27 ekt ospisoren ist invanimise itignode -Reinticuselunia 8 br Nativess vi-Co Drist as chwer e bine betatimus tee Մահար das Elektrospinnen zu erreichen, WENTENDAMENDISHER WAS TO THE POST OF THE P vanuasadat sõlk Natiussoin Garsiatering die Eingoten Viakesi tättä tävaas Elekvassiinen dur schwer. verskretigeliebenewe nandfelvelroxververytlev. Wild tel Priin GRE mitterial bereever heizlichte biolichte mische Vernetzunganin redymer ennes retroorsep generalistysterschied des gibtsnetzens Methoden reur Vernetzung der was de vinassende no reverse se de la comissión de Kernetzung mit/Yernetzungsmitteln wie NHS/FBC 613463216 Es gibt mehreren Ansätze zur Vernetzung Nachtenergierdard gerählerererererereren Seite ist die Verwendung von Glutaraldehyd (GA) ya-Agentien wie NHS/EDC [31,32] und thermische Vernetzung [30], die beide viel Andererseits kann die Verwendung von Glutaraldebyd (GA) Damnf Hexan, was die Vernetzung verbessert, kann die betriebliche Kanmelnzifft der Nichtfaltigker 133-3 er Wedtat er hohriet Bie Dampfphasenkreuzung für teure und gefährliche ชาลางังคาคะเรียนกฎารถ tall sylencheand syanthing the thirth sylenchic the first sylenchic than the sylenchi Zugänglichkeit und Nachhaltigkeit zu bewahren [33–35]. Wichtiger noch ist die Dampfphasenvernetzung so weit wie möglich und schaffen eine vernetzte Struktur, die die Menge erhöht ist ausreichend sanfit, um die Morphologie der wasserlöslichen Nanofasern in vollem Umfang zu bewahren, von Wasserfransportkanalen und beschleunigt den Wasserfluss [36–38], soweit möglich und schaffen eine miteinander verbundene Struktur die die Hydrophille Weiter Verbessert werden kann, werden Transportkanäle geschaffen und der Wasserfluss beschleunigt [36–38], auch dotiertes Laponit, ein billiger Ton mit negativen scheibenartigen Oberflächen und positiven Kanten, in Da die Einarbeitung von anorganischem Salz die Hydrophille weiter verbessern kann, die Membranen [39,40]. Hier haben wir HP-y-CD, PVA und Laponit auf Polyacrylat elektrogesponnen, ebenfalls dotiertes die Membraner [39,40]. Hier haben wir HP-y-CP-Verund Laponit auf Polyacrylat elektrogesponnen, ebenfalls dotiertes Laponit iein billioer Ton mit negativen scheißenattieen Oberflächen und positiven Kanten. Zu en det en GA-Dampf- die Membranen [39,40]. Hier haben wir HP-y-CP- PVA und Laponit auf Polyacryl- por als Vernetzungsreagenz elektrogesponnen, um menrschichtige HP-y-CP- Vernetztte Nanofasern (CD- Ionitrii (PAN)/Polyethylenimin (PEI) Elektrospinnsubstrat und verwendeten GA-Dampf-CNF)-Membranen (Abbildung 1a). Der relativ hohe Gehalt an HP-y-CP war ein Hinweis daraut, dass die Verwendung von mehrschichtigen HP-y-CP- vernetzten Nanofasen (CD-CNF) als Vernetzungsreagenz zur Herstellung von mehrschichtigen HP-y-CP- vernetzten Nanofasen (CD-CNF) als Vernetzungsreagenz zur Herstellung während PVA an einer Membran fixiert war (Abbildung 1a). Der relativ hohe Gehalt an HP-y-CD-dominierten Elektrospinnprozesses. Die Massenadsorptionskapazität mit starker Wirt-Gast-Wechselwirkung, während PVA auf eine niedrige Konzentration zur Unterstützung des HP-y-CD-dominierten Elektrospinnprozesses zu unterstützen. Der Massenanteil von Laponit zu HP-y-CD wurde von 0, 1 Gew--%, 2 Gew--% und 3 Gew.-% geändert, was den HP-y-CD-dominierten Elektrospinnprozesse zu unterstützen. Der Massenanteil von CD/PVA/Lap2% und CD/PVA/Lap3% und die entsprechenden Membranen, DP-P-Y-D Wirde Von 0, 1 Gew--% geändert, was vier CD/PVA/Lap2% und CD/PVA/Lap3% und cD-CNF3 und CD-CNF4 bezeichnet. Interessanterweise wurden die und CD/PVA/Lap3% ing wurden als CD-CNF1, CD-CNF2, CD-CNF3 und CD-CNF4 bezeichnet. Interessanterweise wurden die und CD/PVA/Lap3% ing wurden als CD-CNF1, CD-CNF2, CD-CNF3 und CD-CNF4 bezeichnet. Interessanterweise wurden die und CD/PVA/Lap3% und die entsprechenden Membranen nach der Vernetzung als dotiertes Laponit hatte einen Einfluss auf das Elektrospinnen und beeinflusste weiter die Dampf- als CD-CNF1, CD-CNF2, CD-CNF3 und CD-CNF4. Interessanterweise hatte das dotierte Laponit angetriebene Vernetzungsphase. Im salzvermittelten Vernetzungsprozess (Abbildung 1b.c) wirkt sich der Ex- Effekt auf das Elektrospinnen aus und beeinflusst darüber hinaus die dampfgetriebene Vernetzungsphase. Die Anwesenheit von Laponit würde die Vernetzungsreaktivität verringern und zu einer hohen Erhaltung der Im salzvermittelten Vernetzungsprozess (Abbildung 1b,c) wurde die Anwesenheit von Laponit nierung der ursprünglichen elektrogesponnenen Nanofasern. Im Gegensatz zur kompakten Struktur herkömmlicher Fasern verfindern die Vernetzungsreaktivität und fuhren zu einer höhen Ernattung der urspründlichen elektrogesponnenen NM Gegensatzuherköm Weicher Sittetlingsmerktanen unture von annagen Pannalisermembranen erwartet, dass sie Ultraschneller Wasserfluss. Von Nanofasermembranen wurde erwartet, dass sie einen ultraschnellen Wasserfluss erreichen.

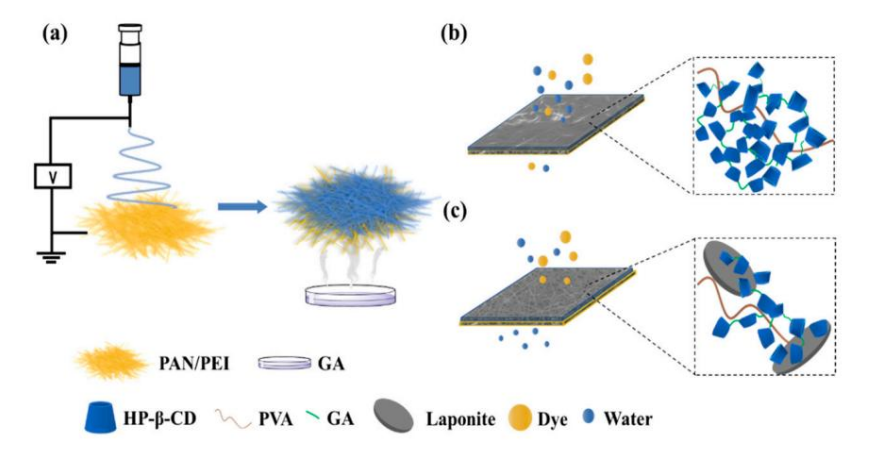


Abbildung 1. (a) Schematische Darstellung der Herstellung von HP-ÿ-CD- Nanofasermembranen. Schematische Darstellung des Vernetzungs- und Abwasserfiltrationsprozesses von CD-CNFs **(b)** ohne Laponit und **(c)** mit Laponit.

2. Materialien und Methoden

2.1. Materialien

Alle Reagenzien wurden ohne weitere Reinigung verwendet. Polyacrylnitril (PAN, durchschnittliches Mw = 150.000), Polyethylenimin (PEI, durchschnittliches Mw = 45.000, 50 %ige wässrige Lösung), Polyvinylalkohol (PVA, 99 % hydrolysiert, Polymerisationsgrad = 1700), Hydroxypropyl- ÿ-Cyclodextrin (HP-ÿ-CD, durchschnittlicher Substitutionsgrad = 7, Mw = 1541,54), Laponit, Glutaraldehyd (GA, 25 %ige wässrige Lösung) und Rinderserumprotein (BSA) wurden von Macklin Reagent Co., Ltd. (Tianjin, China) bezogen. Tropaeolin O, Indigokarmin, Carmoisin , Direktgelb 12, Reaktivschwarz 5, Basic Red 2, Rhodamin B, Kristallviolett und Thioflavin T wurden von Aladdin Reagent Company bezogen.

2.2. Herstellung von Nanofasermembranen

Elektrospinnen: 9,6 % w/v PAN und 2,4 % w/v PEI wurden in N, N-Dimethylformamid (DMF) gelöst und 6 h bei 80 °C gerührt, um eine homogene Lösung herzustellen. Insgesamt 8 ml der Lösung wurden in eine Spritze mit einem 20-Gauge-Messgerät mit einer Durchflussrate von 4 mLhÿ1 gefüllt.

, und eine Hochspannung (15 kV) wurde angelegt. Der Abstand zwischen der Spritze und dem mit Aluminium (Al)-Folie beschichteten Kollektor betrug 20 cm, und die Rotationsgeschwindigkeit des zylindrischen Kollektors betrug 125 U/min. Insgesamt 1 g HP-ÿ-CD, 80 mg PVA und verschiedene Gewichte von Laponit, 0 mg, 10 mg, 20 mg und 30 mg, entsprechend dem Gewichtsverhältnis zu HP-ÿ-CD von 0, 1 %, 2 % und 3 %, wurden in 2 ml deionisiertem Wasser gelöst und jeweils über Nacht gerührt. Die obigen Lösungen wurden in die Spritze mit einer 23er-Gauge überführt und direkt auf die PAN/PEI-beschichtete Al-Folie elektrogesponnen. Die Spannung wurde auf 25 kV eingestellt, und die Flussrate betrug 1 ml pro Stunde . Abhängig vom Verhältnis von Laponit zu HP-ÿ-CD wurden die vier Membranarten als CD/PVA/Lap0, CD/PVA/Lap1%, CD/PVA/Lap2% und CD/PVA/Lap3% bezeichnet.

Insgesamt 20 ml GA-Lösung (25 %ige wässrige Lösung) in einer Petrischale wurden in einen Vakuumexsikkator gegeben, und die erhaltenen elektrogesponnenen Nanofasern auf Al-Folie wurden über die Petrischale hinaus abgedeckt, ohne die Lösung zu berühren. Nach Anlegen des Vakuums für 24 h wurden die Membranen von der Folie entfernt, mehrere Minuten lang mit deionisiertem Wasser gewaschen und über Nacht bei 50 °C vakuumgetrocknet . Die vernetzten Membranen wurden als CD-CNF1 (CD/PVA/Lap0), CD-CNF2 (CD/PVA/Lap1 %), CD-CNF3 (CD/PVA/Lap2 %) und CD-CNF4 (CD/PVA/Lap3 %) dargestellt.

Zur Erfassung der Oberflächenmorphologien von Nanofasermembranen wurde ein Feldemissions-Rasterelektronenmikroskop (Merlin Compact, Oberkochen, Deutschland) verwendet . Zur Erhöhung der

2.3. Charakterisierungsmethoden

Leitfähigkeit wurde eine dünne Goldschicht auf die Beschichtung aufgetragen. Die Beschleunigungsspannung betrug 30 kV. Die durchschnittlichen Durchmesser der Fasern wurden mit der Software Image J 1.46 r gemessen. Ein Fourier-Transformations-IR-Spektrometer (Bruker Tensor II, Ettlingen, Deutschland) wurde verwendet, um die IR-Spektren von Proben zwischen 4000 und 400 cmÿ1 bei Raumtemperatur zu erhalten. Die Röntgen-Photoelektronenspektroskopie (XPS) wurde an einem Instrument (Kratos Analytical Ltd.-Axis Ultra DLD, Manchester, UK) durchgeführt, das mit einer monochromatisierten Al- Kÿ-Röntgenquelle ausgestattet war. Die Daten wurden mit der CASA XPS-Software (Versionsnummer Casa2319PR1-0) analysiert .

Die thermogravimetrische Analyse (TGA) wurde mit einem thermogravimetrischen Analysator (NET- ZSCH, Selb, Deutschland) im Temperaturbereich von 25 bis 800 °C bei einer Heizrate von 10 °C/min mit N2 als Spülgas bei einer Flussrate von 25 mL minÿ1 durchgeführt. Der Winkel (WCA) Der Wasserkontakt wurde mit einem Goniometer bestehend aus einem Analysator (Dataphysics OCA20, Filderstadt, Deutschland) bestimmt. Die Oberflächenladung der Membranen wurde mittels Zetapotenzialanalyse mit einem SurPASS 3 Electrokinetic Analyzer-Instrument ausgewertet.

2.4. Untersuchungen zur Wasserdurchlässigkeit

Die Gesamtporosität der hergestellten Membranen wurde mit der gravimetrischen Wassersorptionsmethode ermittelt . Die Membranen wurden in 10 mm × 10 mm große Stücke geschnitten. Das Trockengewicht (Wd) wurde ermittelt und die Membranen anschließend 24 h in deionisiertes Wasser eingeweich

Durch leichtes Abtupfen der Membranoberfläche mit Filterpapier, um Wasser zu entfernen, wurde das Gewicht der nassen Membranen (Ww) ermittelt. Der prozentuale Wassergehalt der Membranen wurde mit der Formel berechnet

Wassergehalt % =
$$\times$$
 100 $\frac{\text{Ww "y Wd}}{\text{Wd}}$ (1)

Nach dem Einweichen in deionisiertem Wasser für 24 h wurden die Membranen auf 20 mm × 20 mm große Quadrate zugeschnitten . Die Membranen wurden 10 min lang mit 1 bar vorgedrückt, um die Flussrate zu stabilisieren. Für die Leistungsanalyse wurden reines Wasser und organische Lösungsmittel, darunter Ethylalkohol, Petrolether und Dichlormethan, verwendet. Die Permeatflussrate (J) für alle hergestellten Membranen wurde mit Gleichung (2) berechnet.

$$J = \frac{Q}{t \ddot{y} A}$$
 (2)

Dabei bezeichnet Q das Volumen des durchgedrungenen gelösten Stoffes (in I), t die für die Permeation benötigte Zeit (in h) und A die effektive Filtrationsfläche der Membranen (in m²).

2.5. Farbstofffiltrationsexperimente

Unter Verwendung einer Vakuumpumpe wurde eine Reihe von Filtrationsexperimenten mit einem Sackgassen-Sandkern eines Mikrolösungsmittelfiltergeräts durchgeführt. Bei den fünf anionischen Farbstoffen handelte es sich um Indigokarmin, Tropaeolin O, Reaktivschwarz 5, Direktgelb 12 und Carmoisin und bei den vier kationischen Farbstoffen um Basic Red 2, Kristallviolett, Rhodamin B und Thioflavin T. Die effektive Fläche der Membranen betrug 1,77 cm². Die Farbstoffkonzentration war fest auf 25 µM eingestellt und das Volumen der Zulauflösung betrug 5 ml. Die Recyclingfähigkeit der Membranen wurde ebenfalls unter Verwendung der oben genannten fünf anionischen Farbstoffe (10 µM) bewertet und die Zulauflösung betrug jedes Mal 20 ml. Nach der Filtration wurden die Membranen in 1 mol/l NaOH-Lösung eingeweicht, 5 Minuten lang oszilliert und mehrere Male mit reinem Wass Die Filtrations-/Regenerationszyklen wurden viermal wiederholt.

Antifouling-Experimente wurden unter Verwendung einer wässrigen BSA-Lösung (500 ppm) als Modellfoulant bei 1 bar durchgeführt. Insgesamt wurden jedes Mal 40 ml 500 ppm BSA-Zufuhrlösung verwendet, um den Permeatfluss zu erreichen, und die Membranen wurden eine Minute lang mit deionisiertem Wasser gewaschen. Die Prozesse wurden viermal wiederholt. Der anfängliche Wasserfluss wurde als Jw gewählt und der Fluss nach einem Zyklus als J0. Der Wasserfluss nach dem Waschen mit reinem Wasser wurde als Jw,1 bezeichnet. Die Leistung aller Membranen wurde 4 Zyklen lang untersucht.

Unter Verwendung der Gleichungen (3) und (4) wurden die erhaltenen Flusswerte verwendet, um den Gesamtverschmutzungsprozentsatz (FT) % und den Wiederherstellungsprozentsatz (FRR) % abzuschätzen.

$$FT(\%) = \frac{Jw \, \ddot{y} \, J0}{Jw} \quad \times 100 \tag{3}$$

$$FRR(\%) = \frac{Jw,1}{Jw} \times 100$$
 (4)

3. Ergebnisse

3.1. Strukturelle und morphologische Charakterisierungen der CD-CNFs

Die FTIR-Spektren der Membranen CD/PVA/Lap0, CD-CNF1, CD-CNF2, CD-CNF3 und CD-CNF4 sind in Abbildung 2a dargestellt. Die Dehnungsschwingungsadsorption von Mg-OH aus Laponit trat bei 655 cmÿ1 in den Membranen CD-CNF2, CD-CNF3 und CD-CNF4 auf. Darüber hinaus erschien der charakteristische Peak von 2240 cmÿ1 von -CÿN in der Substratschicht in CD-CNF2, CD-CNF3 und CD-CNF4, verursacht durch den am Elektrospinnprozess des Laponits beteiligten Prozess, der Oberflächendefekte erzeugte. Mit Ausnahme von CD/PVA/Lap0 erschien in CD-CNFs ein neuer Peak bei 2820 cmÿ1, der zur Streckschwingung von CH in der Acetalbindung gehörte, und die OH-Streckadsorption bei 3200–3600 cmÿ1 nahm ab, was darauf hindeutet, dass die Hydroxylgruppen in HP-ÿ-CD und PVA mit Aldehydgruppen aus GA reagierten. Die Peaks

traten in CD-CNFs auf, die zur Streckschwingung von CH in der Acetalbindung gehören, und die OH-Streckadsorption bei 3200–3600 cmÿ1 nahm ab, was darauf hindeutet, dass die Hydroxylgruppen in HP-y-

CD und PVA mit Aldehydgruppen aus GA reagierten. Die Peaks bei 1030 cmÿ1. 1252 cmÿ1 und 586 cmÿ1. die HP-ÿ-CD zugeschrieben werden, blieben nahezu unverändert, was darauf hindeutet, dass bei 1030 cmÿ1 Dies zeigt, dass die charakteristische Struktur des Cyclodextrins auch nach der Vernetzung erhalten blieb. Dies zeigt, dass die charakteristische Struktur des Cyclodextrins auch nach der Vernetzung erhalten blieb, ter mit GA-Dampf behandelt wurde, entstand der Adsorptionspeak bei 1729 cmy 1, der auf die Schwingungs-Nach der Behandlung mit GA-Dampf entstand der Adsorptionspeak bei 1729 cmÿ1 , der auf die Schwingungs-Peak für Carbonyl, wo die Membran ohne Laponit (CD-CNF1) ...

höchste Intensität, was zeigt, dass das dotierte Salz den Vernetzungsprozess behindern könnte. höchste Intensität, was zeigt, dass das dotierte Salz den Vernetzungsprozess behindern könnte nach dem Prozess der des PAN/PEI-Substrats vor und nach dem Prozess der "Cess der Membran Darüber hinaus in den FTIR-Ergebnissen des PAN/PEI-Substrats vor und nach dem Prozess der Membran. Darüber hinaus in den FTIR-Ergebnissen des PAN/PEI-Substrats vor und nach dem Prozess der Membran Nach der GA-Behandlung (Abbildung S1) verschwand der der -NH-Gruppe zugeschriebene Peak bei 1561 cm ÿ1 in PEI. erschien, was darauf hindeutet, dass die Vernetzungsreaktion in der Substratmembran stattfindet. In der verschwunden, was darauf hindeutet, dass die Vernetzungsreaktion in der Substratmembran stattfindet. In TGA-Ergebnisse (Abbildung 2b), die Verdunstung von Lösungsmitteln, einschließlich DMF und Wasser, verursachte der Ge-Ergebnisse (Abbildung 2b), die Verdunstung von Lösungsmitteln, einschließlich DMF und Wasser, verursachte der Gewichtsverlust unter 300 °C. Der Massenverlust-Peak bei 367 °C gehörte zur Zersetzung der Gewichtsverlust unter 300 °C. Der Massenverlust-Peak bei 367 °C gehörte zur Zersetzung der Gewichtsverlust unter 300 °C. Der Massenverlust-Peak bei 367 °C gehörte zur Zersetzung der Gewichtsverlust unter 300 °C. Der Massenverlust-Peak bei 367 °C gehörte zur Zersetzung der Gewichtsverlust unter 300 °C. Der Massenverlust-Peak bei 367 °C gehörte zur Zersetzung der Gewichtsverlust unter 300 °C. Der Massenverlust-Peak bei 367 °C gehörte zur Zersetzung der Gewichtsverlust unter 300 °C. Der Membranen waren mit besseren thermischen Stabilität als CD/PVA/Lap0 und CD-CNF1 zeigte am besten in Bezug auf den Gewichtsverlust Bühne Stabilität als CD/PVA/Lap0 und CD-CNF1 zeigte am besten in Bezug auf den Gewichtsverlust Zwischen 350 °C und 400 °C. Die Ergebnisse zeigten, dass die thermische Stabilität von

°C und 400 °C liegt . Die Ergebnisse zeigten, dass die thermische Stabilität von

CB-CNFs nahmen mit zuhehmender Laponitmenge ab.

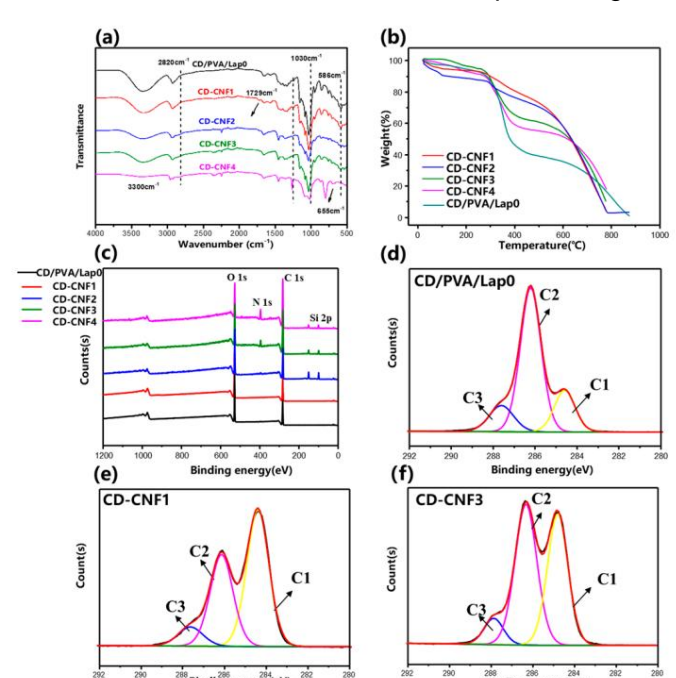


Abbildung 2. (a) FTTR-Spektren und (b) TGA-Kurven von CD/PVA/Lapo und CD-CNEs. (c) XPS-Breitbild By Bit bildes per the control of the (ODSONFS)\variancespecial transportations and properties of the conference of the c CH fiDC 1C/NO, CN/Nn CN ± OdUC € 2 \$\text{starviole} 0000 CD CD CD \text{starviole} [19].

Lyngfioblick in dep yerroetropgesprozese zu erbaltee wurde Rentree-scans von CD/PVA/Lap0 (Abbildung 2c) zeigten, dass in troskopie wurde angewenger. Die Ergebnisse des breiten Scans von CD/PVA/Lap0 (Abbildung 2c) zeigten. Trośkopie wurde angewendet. We Ergebnisse des breiten Scans von CD/PVA/Lap0 (Abbildung 2c) zeigten, dass in allen Membranen die Hauptspitzen von C 1s und O 1s bei 285 eV und 532 eV auftraten. Das Element Auf allen Membranen erschienen die Hauptspitzen von C 1s und O 1s bei 285 eV und 532 eV und 532 eV. Das Ele-Si wurde auf den Membranen mit Zusatz von Lapo-Si wurde auf den Membranen Si bei 150 eV und 99.7 eV nachgewiesen. Bei Zugabe von Lapo-Si wurde auf den Membranen Si bei 150 eV und 99.7 eV nachgewiesen. Darüber hinaus wurde in CD-CNF3 und CD-CNF4 der Bindungsenergiepeak bei 400 eV auf, der dem N-leiement des Substrats zugeordnet wurde, was die Existenz von Oberflächendefekten bestätigte zum N-Element des Substrats traten auf, was die Existenz von Oberflächendefekten in der HP-y-CD-Schicht bestätigte. Die dekonvolutierten C 1s XPS-kernniveauspektren von CD/PVA/Lapo in der HP-y-CD-Schicht, Die dekonvolutierten C 1s XPS-kernniveauspektren von CD/PVA/Lapo und CD-CNFs zeigten (Abbildung 2d-f; Abbildung S3a,b), dass nach der Vernetzung C1(CC, CH)-Spitzenintensität nahm zu und die C2(CO)-Spitzenintensität nahm in CD-CNF1 ab. Die Peakintensität nahm zu und die C2(CO)-Spitzenintensität nahm in CD-CNF1 ab. Die Peakintensität nahm zu und die C2(CO)-Peakintensität sank in CD-CNF1. Mit zunehmendem Laponitgehalt nahm das C1/C2-Verhältnis tendenziell ab, was auf einen niedrigeren Vernetzungsgrad.

Vernetzungsgrad. Der Vernetzungsprozess hatte direkte Auswirkungen auf die Morphologie der Membranen. Die Ergebnisse der Rasterelektronenmikroskopie (SEM) der Oberflächenmorphologie von HP-ÿ-CD- Schichten vor und nach der GA-Dampfbehandlung sind in Abbildung S4 dargestellt. Mit einem erhöhten Massenanteil von Laponit zu HP-ÿ-CD, der Durchmesser der elektrogesponnenen Nanofasern erhöhte sich

Chemie 2024. 6

Der Vernetzungsprozess hatte direkte Auswirkungen auf die Morphologie der Membranen. Die Ergebnisse der Rasterelektronenmikroskopie (SEM) der Oberflächenmorphologie der HP-ÿ-CD-Schichten vor und nach der GA-Dampfbehandlung sind in Abbildung S4 dargestellt. Mit einem erhöhten Massenanteil von Laponit zu HP-ÿ-CD vergrößerte sich der Durchmesser der elektrogesponnenen Nanofasern (Abbildung S4e–h).

Laponit zu HP-ÿ-CD vergrößerte sich der Durchmesser der elektrogesponnenen Nanofasern (Abbildung S4e-h). Verglichen mit den gleichmäßigen Nanofasern in CD/PVA/Lap0 (Abbildung 3a,b) waren die un- (Abbildung S4ebiaterwiahenasiseen aleisenkiaankilanefasean de FAPVO/Pepa/ABBizkundaehbizeendiegation unglatte Nanciasarnaitz Pade art internationalistination (AT/M) ade verseturit die Agencia entien könnte von zu AIDEARLA. MASCHIOLA CAMPORANKONORNIGHTEITH MICHELLAR MENESTEUNG HERINTRICHTEOR HÖRNBERAREN AGENTEN. Nachteleschiedenantvaustrausemalen. der des nitgeventubet under Mediteren nanofasermorphologie. ivoustarachiadundam durima Larianteauc Cocumaticum dinatura rainean dinatura mainean dinatura marataria industri vollständig (Abbildung 3c), die als kompakte Oberflächenschicht ohne Porosität dargestellt wird cwährend es waren vielle Absbuchtungen als kompakte Oberflächenschilden minimale Schnigebunkte in cwährend es waren yiele Ayshushen and anntasen und offensichtlich minimale is chritte unkte in GDr. CNF.4 Propositäterässentiert (Abbildung Sa). Die homogenste Merebellogie wurdenstärentiertkingen erreicht wirden. C.B-GNE3 (Alphildung ad) die odurch das Gistichken vielt zwischen faserigen und des mischten zieh letter zernänts wird. gut. Darüber hinaus war die Nanofaserstruktur des Substrats aufgrund des begrenzten PEI-Gehalts gut. blieb gut erhalten mit leichter Verschmelzung nach der Vernetzung in den SEM-Bildern des PAN/ PELS übstrats vor gernetzung (Abbildung S2). Laut den SEM-Querschnittsbildern und nach der Vernetzung (Abbildung S2). Laut den SEM-Querschnittsbildern (Abbildung 3e.f) (Abbildung 3e.f) besalsen sowohl CD-CNF1- als auch CD-CNF3-Membrahen mehrschichtige faserige Strukturen. In Strukturen. Im Gegensatz zu dem herkömmlichen dichten Dünnfilm präsentierten sich die Membranen Strükturen. Im Gegensatz zu dem herkömmlichen dichten Dünnfilm präsentierten sich die Membranen als 3D lose vesikuläre Schwammstrukturen mit hoher Porosität, die reichlich Wasser liefern 3D lose vesikuläre Schwammstrukturen mit hoher Porosität, die reichlich Wassertransportkanäle liefern. In der Transportkanäle. In den Wasseraufnahmeexperimenten, die die Porosität der Wasseraufnahmeexperimente darstellten, die die Porosität der Membranen darstellten (Abbildung S7), der Membranen darstellten GP-CNF1, CD-CNF3, der Wassergehalt für CD-CNF2, CD-CNF3 und CD-CNF4, wie folgt gemessen: Die gemessenen CD-CNF4-Werte betrugen 14,6 %, 26,1 %, 54,7 % bzw. 116,3 %, was auf eine erhöhte Membranporosität. Nach dreimonatigem Einweichen in Wasser wurde die Morphologie von PAN/PEI, CD-CNF1 und CD-CNF3 (Abbildung S6) veränderte sich bei geringer Schwellung nicht, was auf die geeignete Wasser-Uberprüfung der geeigneten Wasserstabilität der Membranen.

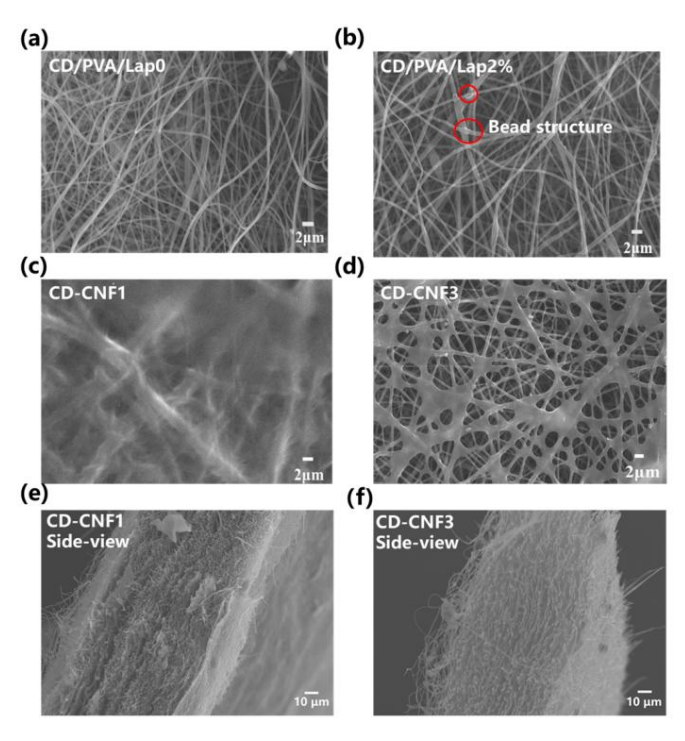


Abbildung 3: Die SEM-Ergebnisse der Oberflächenmorphologie von (a) CD/PVA/Lap0, (b) CD/PVA/Lap2%, (c) CD-CNF1- und (d) CD-CNF3-Membranen: Die Querschnittsbilder von (e) CD-CNF1- und (f) CD-CNF3-Membranen (c) CD-CNF3-Membranen.

3.2. Wasserdurchlässigkeit und Farlbstoffalbweisungsverhalten der CD-CNFs

Hydrophillie istraucheinwiddige Feldonin Zesammerenangnindede Vassedudträssissiskie kella De Vasser Was Kentraktakinkerkeise PARATE PSI kan bestrauschder Gydroid extributer verdeitzten Stehiolog (Abbildung etwa) essen Die Ergebnisse zeigten, dass alle Membranen superhydrophil waren, da Wasser Tröpfohen könnten nicht stabil auf der Oberfläche verbleiben und würden in die Membranen eindringen

innerhalb von Sekunden oder weniger. Der Wasserkontaktwinkel in den ersten 0,5 s wurde mit 104,3ÿ gemessen für PAN/PEI-Substrat, 69,1ÿ für CD-CNF1, 63,1ÿ für CD-CNF2, 45,1ÿ für CD-CNF3 und

 $51,5 \cent{y}$ für CD-CNF4. Die Oberflächenrauheit verursachte die Hysterese der Permeation und

Membranen verbessern konnte

Der Wasserkontaktwinkel für CD-CNF4 war höher als für CD-CNF3. Die obigen Ergebnisse zeigte, dass das dotierte Laponit die Hydrophilie der Membranen verbessern konnte.

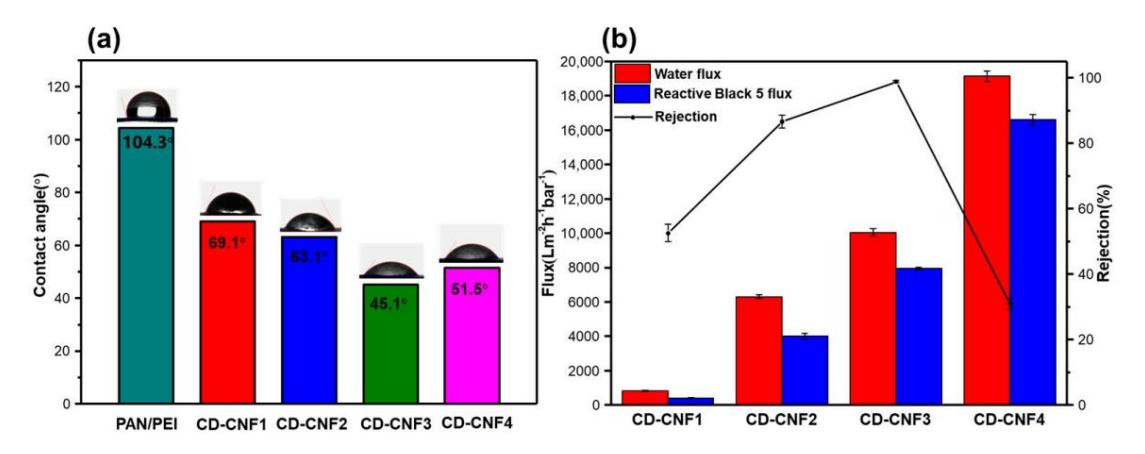


Abbildung 4. (a) Der Wasserkontaktwinkel von PAN/PEI, CD-CNF1, CD-CNF2, CD-CNF3 und CD-CNF4

Abbildung 4. (a) Der Wasserkontaktwinker vollfissische Eir-reites Wasser Duchlesigkeit und Bückhalt der Charquive Black 5-Lösung

Membranen; (b) Permean 2 Von meh ein Wasser, Penne an 2 vind Rückwersung von Reactive Black 5-Lösung (10ÿ5 mol Lÿ1) der CD-CNF1-, CD-CNF2-, CD-CNF3- und CD-CNF4-Membranen.

Dank der verbesserten Hydrophillie und hohen Porosität können CD-CNF-Membranen

Lhÿ1mÿ2barÿ1. Durch die Anwendung der Membranen zur Farbstofffiltration wurde die CD-CNF3-Membran ex- Die hemmte einen Fluss bis zu ក្នុងវិន្ទុកេទ្ធិនិក្សា ក្រុំប្រជុំ ក្រុំប្រជា ក្រុំប្រជុំ ក្រុងប្រជុំ ក្រុំប្រជុំ ក្រុងប្រជុំ ក្រុងប្រជុំ ក្រុងប្រជុំ ក្រុងប្រជុំ ក្រុងប្រជុំ ក្រុងប្រជាងប្រជុំ ក្រុងប្រជុំ ក្រុងប្រជុំ ក្រុងប្រជុំ ក្រុងប្រជុំ ក្រុងប្រជុំ ក្រុងប្រជុំ ក្រុងប្រជុំ ក្រុងប្រជុំ ក្រុងប្រជុំ ក្រាសប្រជុំ ក្រុងប្រជុំ ក្រុងប្រជុំ ក្រុងប្រជុំ ក្រុងប្រជុំ ក្រុងប្រងប្រជុំ ក្រុងប្រជុំ ក្រុងប្រជុំ ក្រុងប្រជុំ ក្រុងប្រជុំ ក្រុងប្រ

Die Abstoßungsleist Mg der Abbechtel wistruker weiter Parkstagethen wieder der Abbechte der Abbechte weiter Parkstagethen bedet wird der Betreichten bedet bedet Betreichten bedet bedet Betreichten bedet bedet Betreichten betreichten bedet Betreichten bedet Betreichten bedet Betreichten betreichten bedet Betreichten B

hohe Affinität des Cyclobe in hohitäviste seine hohe Affinität des Cyclobe in hohe Status des Abstoliung veriger des Laponitien moderate einer Abstoliung return des Laponitien moderate einer Abstoliung status des Cyclobes des Laponitien moderate einer Abstoliung veriger des Laponitien moderate einer Abstoliung veriger des Laponitien moderate einer Abstoliung veriger des Laponitien einer bei Cyclobes des Laponitien moderate moderate einer Methodiung sollowers des Laponitien eines Laponitien einem ultraschnellen Fluss Tuhrte.

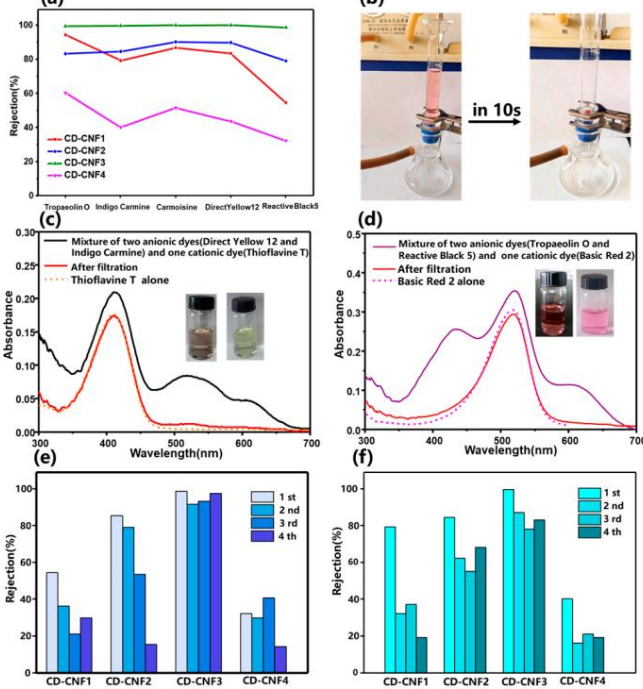
Wechselwirkung (weniger Laponitien einem Laponitien einem ultraschnellen Fluss Tuhrte.

Wechselwirkung (weniger Laponitien einem Laponitien e

513

gleichzeitig zu einer bemerkenswerten Entfernungsrate und einem ultraschnellen Fluss führte.





Dardilied/Vieinnebusanserigeterfgelure/d/vietenterlerkervosaterfgrechnehd/ebosstler/ktmogtatischen Abstoßung Darüber hinaus zeigten geringerreeRei Ekinakheetigeeigselsafteftegegegeibübekraktatiosistetrefi Eranststüffen (Alb bildiong SS 111). Dether kõnobelied kembranen Menydora Dien kannot zem dureg nvormekanio krastobiers chrecha unid rastobiers offerbet Staffest of few veed et eweed ever Dien. Tiete affekt to keit von CNED WINES mitre a notito far in it for in the contract of the vonkatinoinschenfiatentoffi bill membrawinge iene usgezeichente iB ünderwinden für tänden indenden betreut (Direkt 12 (Piraktonkhrifainhriduoksemaktaubrväbsandidekkationische Farbsstöff (Titaktonisch) taptimokständische ist trat (Abbildungs 5,c à rÀhunliche Ergebniere wurden amiteverschieden en Mitternavon Mirchierles tetten von ActRestation of the Company of the C TreWining, Wife moving design, and for the franching limiting and the mount of the moving and th die เพื่อกายาลให้เกียงจริงในอิย่อปราชาเอากอลลาดสารและที่เสียงที่เกียงเลือกใหญ่ Nonnten einfach mit NaOH-Lösung mit NaWAREDEN HIT GWIEGERER WAR WELVERWE NACH NIEU-ZVEIP FIRITATION REGERENERATION (Abb. 5e ,f) wiesen ure the Mentitive Plack 5 immert and being Rick by it was a support of the suppor Da Baei han air wie zeigte die Che SNE 3-Memhran auch neinen spriegete Rickweizung für drei ner getrachen ische FarBückheltt vog für intelione inte geniene interesten fabellet. In hell far interesten fabellet in hell far interesten fabellet. In hell far interesten fabellet in hell far interesten fabellet. In hell far interesten fabellet. In hell far interesten fabellet in hell fabellet. In hell fabellet in hell fabellet in hell fabellet. In hell fabellet in hell fabellet in hell fabellet. Tro Trougand in Acharde y interfation state of the contraction of the anionischer Farbstoffe zeigt. Membranen zur Filtration anionischer Farbstoffe.

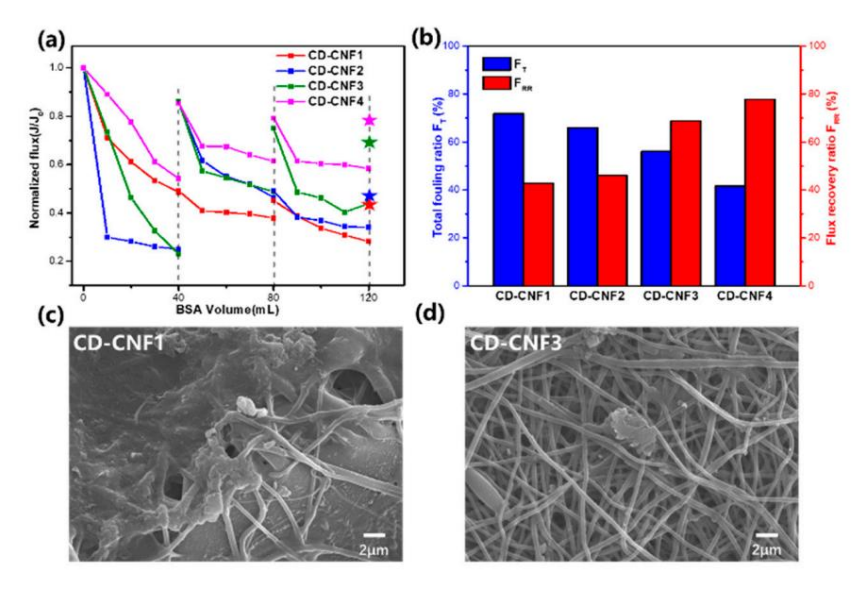
3.3. Die Antifouling-Eigenschaften der CD-CNFs

Kommerzielle Trennmembranen mit inhärenter Hydrophobie weisen häufig ein Fouling von Biomakromolekülen auf [34]. Die Oberflächenhydrophilie unserer

Membranen wurde deutlich erhöht. Es wurde untersucht, wie das Volumen der BSA-Lösung die Penetration der Membran unter Verwendung von BSA als Modellbiomakromolekülverschmutzung beeinflusst.

Kommerzielle Trennmembranen mit inhärenter Hydrophobie weisen häufig ein Fouling durch Biomakromoleküle auf [34]. Die Oberflächenhydrophilie unserer berichteten Membranen war jedoch deutlich erhöht. Es wurde untersucht, wie sich das Volumen der BSA-Lösung auf die Durchdringung der Membran auswirkte, wobei BSA als Modell für

Biomakromolekülschadstoffe verwendet wurde. Mit zunehmender Hydrophilie waren die CD-CNF3- und CD-CNF4Membranen beständig. Mit zunehmender Hydrophilie waren die CD-CNF3- und CD-CNF4-Membranen
weniger verunreinigt mit einem niedrigeren Gesamtfouling-Verhältnis (Abbildung 6a) und die
brane Zeighe En-Verrighten niedrigeren Gesamtfouling-Verhältnis (Abbildung 6a) und die
brane Zeighe En-Verrighten Flusswiederherstellung, da der normalisierte Wasserfluss bei 68% (FRR) blieb
nackeigteiezyktenighen flusswiederherstellung, da der normalisierte Wasserfluss bei 68% (FRR) blieb
nackeigteiezyktenighen flusswiederherstellung, da der normalisierte Wasserfluss bei 68% (FRR) blieb
nackeigteiezyktenighen flusswiederherstellung, da der normalisierte Wasserfluss bei 68% (FRR) blieb
nackeigteiezyktenighen flusswiederherstellung, da der normalisierte Wasserfluss bei 68% (FRR) blieb
nackeigteiezyktenighen flusswiederherstellung, da der normalisierte Wasserfluss bei 68% (FRR) blieb
nackeigteiezyktenighen flusswiederherstellung, da der normalisierte Wasserflussellung war de 16% (FRR) blieb
nackeigteiezyktenighen flusswiederherstellung, da der normalisierte Wasserflussellung flusswiederherstellung bei 68% (FRR) blieb
nackeigteiezyktenighen flusswiederherstellung, da der normalisierte Wasserflussellung flusswiederherstellung flusswiede



AbbABHY 192(6) (Abhamalisieter Tuss van CDCNFs; der sich mit der Bebrahlung verschrelleher Rhanyelniga ändert (500 Franklung verschrelleher Rhanyelniga ändert (500 Franklung verschrelleher Rhanyelniga sichet der Spollen der Membrahen mit minem Ahamasskritateter (Rhankelse Spollen der Membrahlung von (6) CB-CNF1- und (4) CDCNF3-Mankrahen mach Behanklung ihr BSA üssen und AhV versen ein ihr Manasser.

4. Diskussion

Laponewould is forgencheders describe purch on Nitral Manden provened to give the entropy was entured to prove the provened to the provened to

herzustellen, sodass sie ein großes Anwendungspotenzial bei der Abwasserbehandlung von Farbstoffen haben. **Ergänzende Materialien:** Die folgenden ergänzenden Informationen können unter https heruntergeladen werden:

//www.mdpi.com/article/10.3390/chemistry6040029/s1, Abbildung S1: FTIR-Spektren von Substratmembranen; Abbildung S2: SEM von Substratmembranen; Abbildung S3: Auf C 1s-Kernebene dekonvolutierte XPS-Spektren für CD-CNF2- bzw. CD-CNF4-Membranen; Abbildung S4: SEM-Ergebnisse und Nanofaserdurchmesser Verteilung von CD-CNFs; Abbildung S5: Querschnittsbilder von CD-CNFs; Abbildung S6: Die SEM-Ergebnisse der Membranen nach dem Einweichen in Wasser; Abbildung S7: Der Wassergehalt der CD-CNF-Membranen; Abbildung S8: Fotografien der hergestellten Membranen nach der Filtration; Abbildung S9: UV-Vis-Spektrum von anionische Farbstoffe nach CD-CNF-Filtration; Abbildung S10: Das Oberflächen-Zetapotenzial der CD-CNFs bei pH 7;

Abbildung S11: UV-Vis-Spektrum kationischer Farbstoffe nach CD-CNF-Filtration; Abbildung S12: Die Zurückweisung von CD-CNF-Membranen für drei Farbstoffe in vier Filtrations-/Regenerationszyklen; Tabelle S1: Permeanzen von CD-CNFs für drei Arten organischer Lösungsmittel; Video S1: Der Filtrationsprozess einer Carmoisin-Lösung durch eine CD-CNF3-Membran; Video S2: Die Trennung gemischter Farbstoffe durch eine CD-CNF3-Membran.

Beiträge der Autoren: Konzeptualisierung, XX und YC; Methodik, XX und YZ; Validierung, XX; formale Analyse, XX und YZ; Untersuchung, XX; Ressourcen, XX; Datenkuratierung, XX; Schreiben – Vorbereitung des Originalentwurfs, XX; Schreiben – Überprüfung und Bearbeitung, XX, YC und YL; Projektverwaltung, YC und YL; Mittelbeschaffung, YC. Alle Autoren haben die veröffentlichte Version des Manuskripts gelesen und stimmen ihr zu.

Finanzierung: Diese Forschung wurde von der National Natural Science Foundation of China (Zuschuss- Nr. 22131008), dem Haihe Laboratory of Sustainable Chemical Transformation und den Fundamental Research Funds for the Central Universities (Nankai University) finanziert.

Datenverfügbarkeitserklärung: Die in dieser Studie präsentierten Daten sind auf Anfrage beim entsprechenden Autor erhältlich.

Interessenkonflikte: Die Autoren erklären, dass keine Interessenkonflikte bestehen.

Verweise

- Lin, J.; Ye, W.; Xie, M.; Seo, DH; Luo, J.; Wan, Y.; Van der Bruggen, B. Umweltauswirkungen und Sanierung von farbstoffhaltigem Abwasser. Nat. Rev. Earth Environ. 2023, 4, 785–803. [CrossRef]
- 2. Shanker, U.; Rani, M.; Jassal, V. Abbau gefährlicher organischer Farbstoffe im Wasser durch Nanomaterialien. Environ. Chem. Lett. **2017.** 15. 623–642. [CrossRef]
- 3. Tkaczyk, A.; Mitrowska, K.; Posyniak, A. Synthetische organische Farbstoffe als Schadstoffe in der aquatischen Umwelt und ihre Auswirkungen für Ökosysteme: Eine Übersicht. Sci. Total Environ. 2020, 717, 137222. [CrossRef] [PubMed]
- 4. Samuchiwal, S.; Naaz, F.; Kumar, P.; Ahammad, SZ; Malik, A. Lebenszyklusanalyse der sequentiellen mikrobiellen anaeroben- aeroben Reaktortechnologie, die vor Ort zur Behandlung von Textilabwässern entwickelt wurde. Environ. Res. 2023, 234, 116545. [CrossRef] [PubMed]
- 5. Giannakis, S. Ein Überblick über die Konzepte, jüngsten Fortschritte und Nischenanwendungen des (Foto) Fenton-Verfahrens, über die Wasser- /Abwasserbehandlung hinaus: Oberflächenfunktionalisierung, Biomassebehandlung, Krebsbekämpfung und andere medizinische Anwendungen. Appl. Catal. B Environ. 2019, 248, 309–319. [CrossRef]
- Yan, J.; Huang, Y.; Miao, YE; Tjiu, WW; Liu, T. Mit Polydopamin beschichtete elektrogesponnene Polyvinylalkohol-/Polyacrylsäuremembranen als effizientes Farbstoffadsorbent mit guter Recyclingfähigkeit. J. Hazard. Mater. **2015**, 283, 730–739. [CrossRef]
- 7. Leudjo Taka, A.; Fosso-Kankeu, E.; Pillay, K.; Yangkou Mbianda, X. Mit Metallnanopartikeln dekorierter phosphorylierter Kohlenstoffnanoröhren-/Cyclodextrin-Nanoschwamm zur Adsorption von Trichlorethylen und Kongorot-Farbstoff aus Abwasser. J. Environ. Chem. Eng. 2020, 8, 103602. [CrossRef]
- 8. Sarkar, P.; Modak, S.; Karan, S. Ultraselektive und hochdurchlässige Polyamid-Nanofilme für ionische und molekulare Nanofiltration. Adv. Funct. Mater. **2021**, 31, 2007054. [CrossRef]
- 9. Zhang, L.; Guan, H.; Zhang, N.; Jiang, B.; Sun, Y.; Yang, N. Eine lockere NF-Membran durch Aufpfropfen von TiO2-HMDI-Nanopartikeln auf PES/ÿ-CD-Substrat zur Farbstoff-/Salztrennung. Sep. Purif. Technol. **2019**, 218, 8–19. [CrossRef]
- 10. Karki, S.; Gohain, MB; Yadav, D.; Thakare, NR; Pawar, RR; Hazarika, S.; Ingole, PG Aufbau schneller Wassertransportkanäle innerhalb dünner Nanokompositmembranen auf Basis von 2D-mesoporösen Nanoschichten. Desalination 2023, 547, 116222. [CrossRef]
- 11. Xu, W.; Chen, Y.; Xu, W.; Wu, X.; Liu, Y. Elektrospinnen eines orientierten, selbstreinigenden, porösen, vernetzenden Polymers für effiziente Farbstoffe Entfernung. Adv. Mater. Interfaces 2020, 7, 2001050. [CrossRef]
- 12. Zhang, W.; Zheng, Z.; Lin, L.; Zhang, X.; Bae, M.; Lee, J.; Xie, J.; Diao, G.; Im, H.-J.; Piao, Y.; et al. Ultraschnelle Synthese eines Graphen-eingebetteten Cyclodextrin-Metall-Organischen-Gerüsts für supramolekulare selektive Absorption und Superkondensatorleistung . Adv. Sci. 2023, 10, 2304062. [CrossRef] [PubMed]
- 13. Zhang, S.; Zhou, J.; Li, H. Mit chiralen kovalenten organischen Gerüsten gepackte Nanokanalmembran zur Enantioseparation. Angew. Chem. Int. Ed. 2022, 61, e202204012. [CrossRef]
- 14. Zhang, S.; Boussouar, I.; Li, H. Selektive Erfassung und Transport in bionischen Nanokanälen basierend auf makrozyklischer Wirt-Gast-Chemie. Chin. Chem. Lett. 2021, 32, 642–648. [CrossRef]
- 15. Jiang, Z.; Dong, R.; Evans, AM; Biere, N.; Ebrahim, MA; Li, S.; Anselmetti, D.; Dichtel, WR; Livingston, AG Ausgerichtete Makrocyclenporen in ultradünnen Filmen für genaues Molekularsieben. Nature 2022, 609, 58–64. [CrossRef] [PubMed]
- 16. Alsbaiee, A.; Smith, BJ; Xiao, L.; Ling, Y.; Helbling, DE; Dichtel, WR Schnelle Entfernung organischer Mikroverunreinigungen aus Wasser durch ein poröses ÿ-Cyclodextrin-Polymer. Nature 2016, 529, 190–194. [CrossRef] [PubMed]
- 17. Huang, T.; Puspasari, T.; Nunes, SP; Peinemann, K.-V. Ultradünne 2D-geschichtete Cyclodextrinmembranen für Hochleistungs- Nanofiltration organischer Lösungsmittel. Adv. Funct. Mater. 2020, 30, 1906797. [CrossRef]
- 18. Zhu, B.; Shao, R.; Li, N.; Min, C.; Liu, S.; Xu, Z.; Qian, X.; Wang, L. Fortschritt von Cyclodextrin-basierten Membranen in der Wasseraufbereitung: Spezielle 3D-schalenartige Struktur für hervorragende Trennung. Chem. Eng. J. 2022, 449, 137013. [CrossRef]

- Villalobos, LF; Huang, T.; Peinemann, K.-V. Cyclodextrinfilme mit schnellem Lösungsmitteltransport und formselektiver Permeabilität.
 Adv. Mater. 2017. 29. 1606641. [CrossRef]
- 20. He, Y.; Miao, J.; Jiang, Z.; Tu, K.; Yang, H.; Chen, S.; Zhang, L.; Zhang, R. Verbesserung der Antifouling-Eigenschaft und des Permeatflusses einer Hohlfaser-Verbund-Nanofiltrationsmembran unter Verwendung von ÿ-Cyclodextrin. Sci. Rep. 2019, 9, 12435. [CrossRef]
- 21. Mao, H.; Zhang, H.; Li, Y.; Xue, Y.; Pei, F.; Wang, J.; Liu, J. Einstellbare Lösungsmittelpermeationseigenschaften einer dünnen Nanokompositmembran durch Konstruktion von Doppelpfaden unter Verwendung von Cyclodextrinen für die Nanofiltration organischer Lösungsmittel. ACS Sustain. Chem. Eng. 2015, 3, 1925–1933. [CrossRef]
- Gozali Balkanloo, P.; Mahmoudian, M.; Hosseinzadeh, MT Eine vergleichende Studie zwischen MMT-Fe3O4/PES, MMT-HBE/PES, und MMT-säureaktivierte/PES-Mischmatrixmembranen. Chem. Eng. J. 2020, 396, 125188. [CrossRef]
- 23. Wu, H.; Liu, Y.; Mao, L.; Jiang, C.; Ang, J.; Lu, X. Dotierung einer Polysulfon-Ultrafiltrationsmembran mit TiO2-PDA-Nanohybrid für gleichzeitige Selbstreinigung und Selbstschutz. J. Membr. Sci. 2017, 532, 20–29. [CrossRef]
- 24. Shen, L.; Cheng, R.; Yi, M.; Hung, W.-S.; Japip, S.; Tian, L.; Zhang, X.; Jiang, S.; Li, S.; Wang, Y. Polyamidbasierte Membranen mit struktureller Homogenität für ultraschnelles Molekularsieben. Nat. Commun. 2022, 13, 500. [CrossRef]
- 25. Zhao, Q.; Liu, Y. Makrocyclische vernetzte mesoporöse Polymere zur ultraschnellen Trennung organischer Farbstoffe. Chem. Commun. **2018**, 54, 7362–7365. [CrossRef]
- 26. Xu, W.; Li, G.; Qu, H.; Ma, C.; Zhang, H.; Cheng, J.; Li, H. Die spezifische Entfernung von Perfluoroctansäure auf Basis von Pillar[5]aren-Polymergepackte Nanokanalmembran. ACS Nano 2023, 17, 19305–19312. [CrossRef]
- 27. Xu, W.; Chen, Y.; Liu, Y. Richtungsgebundene Janus-Nanofaser-Porenmembranen zur Filtration von Partikeln und zur Adsorption flüchtiger organischer Verbindungen. ACS Appl. Mater. Interfaces 2021, 13, 3109–3118. [CrossRef] [PubMed]
- Zhang, W.; Chai, H.; Diao, G. Hochporöse, cyclodextrinfunktionalisierte Nanofasermembran durch Säureätzen. Colloids Surf. A Physicochem. Eng. Asp. 2019, 582, 123907. [CrossRef]
- 29. Celebioglu, A.; Uyar, T. Elektrospinnen von Nanofasern aus nicht-polymeren Systemen: Polymerfreie Nanofasern aus Cyclodextrin Derivate. Nanoscale **2012**, **4**, 621–631. [CrossRef]
- 30. Zhao, R.; Wang, Y.; Li, X.; Sun, B.; Wang, C. Synthese von beta-Cyclodextrin-basierten elektrogesponnenen Nanofasermembranen für hocheffiziente Adsorption und Trennung von Methylenblau. ACS Appl. Mater. Interfaces 2015, 7, 26649–26657. [CrossRef]
- 31. Li, R.; Dou, J.; Jiang, Q.; Li, J.; Xie, Z.; Liang, J.; Ren, X. Herstellung und antimikrobielle Aktivität von ÿ-Cyclodextrin-Derivaten Copolymere/Celluloseacetat-Nanofasern. Chem. Eng. J. **2014**, 248, 264–272. [CrossRef]
- 32. Tang, Y.-J.; Shen, B.-J.; Huang, B.-Q.; Zhan, Z.-M.; Xu, Z.-L. Dünnschicht-Verbund-Nanofiltrationsmembranen mit hoher Permselektivität und 3D-Mikrostruktur, hergestellt durch Einbau von Beta-Cyclodextrin. Sep. Purif. Technol. 2019, 227, 115718. [CrossRef]
- 33. Shang, S.; Chiu, K.-L.; Jiang, S. Synthese von immobilisiertem Polyvinylalkohol/Cyclodextrin-Ökoadsorbent und seine Anwendung für die Entfernung von Ibuprofen aus pharmazeutischen Abwässern. J. Appl. Polym. Sci. **2017**, 134, 44861. [CrossRef]
- 34. Ahmad, J.; Wen, X.; Li, F.; Wang, B. Neuartige, mit dreieckigen Silbernanopartikeln modifizierte Membranen für verbessertes Antifouling Leistung. RSC Adv. 2019, 9, 6733–6744. [CrossRef] [PubMed]
- 35. Wang, Q.; Ju, J.; Tan, Y.; Hao, L.; Ma, Y.; Wu, Y.; Zhang, H.; Xia, Y.; Sui, K. Kontrollierte Synthese von elektrogesponnenen Nanofasermembranen aus Natriumalginat für die mehrmalige Adsorption und Trennung von Methylenblau. Carbohydr. Polym. **2019**, 205, 125–134. [Querverweis] [PubMed]
- 36. Tian, H.; Yuan, L.; Wang, J.; Wu, H.; Wang, H.; Xiang, A.; Ashok, B.; Rajulu, AV Elektrospinnen von Polyvinylalkohol zu vernetzten Nanofasern: Ein Ansatz zur Herstellung eines funktionellen Adsorbens für Schwermetalle. J. Hazard. Mater. **2019**, 378, 120751.

 [Querverweis] [PubMed]
- 37. Yadav, D.; Karki, S.; Gohain, MB; Ingole, PG Entwicklung eines Prozesses zur Entfernung von Mikroschadstoffen unter Verwendung von Dünnschicht-Nanokompositmembranen, die durch eine neue umweltfreundliche Methode der Grenzflächenpolymerisation in der Dampfphase hergestellt werden. Chem. Eng. J. 2023, 472, 144940. [CrossRef]
- 38. Gruppuso, M.; Iorio, F.; Turco, G.; Marsich, E.; Porrelli, D. Hyaluronsäure/Laktose-modifiziertes Chitosan, elektrogesponnene Wundauflagen Vernetzung und Stabilitätskritikalität. Carbohydr. Polym. **2022**, 288, 119375. [CrossRef] [PubMed]
- 39. Prasannan, A.; Udomsin, J.; Tsai, H.-C.; Wang, C.-F.; Lai, J.-Y. Robuste superoleophobe Unterwassermembranen mit biologisch inspirierten Carrageenan/ Laponit-Mehrfachschichten zur effektiven Entfernung von Emulsionen, Metallionen und organischen Farbstoffen aus Abwasser. Chem. Ing. J. 2020, 391, 123585. [CrossRef]
- 40. Yang, X.; Lin, L.; Liu, Z.; Yang, J.; Cheng, Q.; Ma, W.; Xu, M.; Tang, F.; Wang, Q.; Li, X.; et al. Herstellung lösungsmittelbeständiger Polyimidmembranen zur effizienten Trennung von Farbstoffen und Salzen mittels einer "Internal Drive"-Strategie. Sep. Purif. Technol. **2024**, 332, 125843. [CrossRef]

Haftungsausschluss/Anmerkung des Herausgebers: Die in allen Veröffentlichungen enthaltenen Aussagen, Meinungen und Daten sind ausschließlich die der einzelnen Autoren und Mitwirkenden und nicht die von MDPI und/oder den Herausgebern. MDPI und/oder die Herausgeber lehnen jegliche Verantwortung für Personen- oder Sachschäden ab, die aus den im Inhalt erwähnten Ideen, Methoden, Anweisungen oder Produkten resultieren.